

# Raport stiintific si tehnic in extenso

**Titlul proiectului:** Studiul efectului agentilor de complexare ai Fe(III) sau Fe(II) asupra dizolvarii monosulfurilor de fier

**Contract nr.:** 51/2012

**Coordonator proiect:** Universitatea din Craiova - UCV

**Partener 1:** Universitatea A.I. Cuza Iasi - UAIC

**Partener 2:** Institutul National de Cercetare Dezvoltare pentru Fizica Materialelor (INCDFM)

**Durata proiectului:** 4,5 ani

**Obiectivul fazei de executie:** Studiul dizolvarii oxidative a MSF si a sulfurilor cu reactivitate similara MSF in prezenta unor liganzi (sau potentiali liganzi) ai Fe(III)  
(Monosulfurilor de fier = MSF)

## Activitati:

Co: Identificarea efectului unor liganzi (sau potentiali liganzi) ai Fe(III) asupra dizolvarii oxidative a MSF si a unor sulfuri cu reactivitate similara MSF

P1: Sinteza liganzilor de tip mono(TRIS)

P2: Caracterizarea optica a suprafetei reactionate in prezenta unor liganzi (sau potentiali liganzi) ai Fe(III) a MSF si a unor sulfuri cu reactivitate similara MSF

## Rezumatul etapei

In Etapa a 4-a (2015) a proiectului 51/2012 Coordonatorul (UCV) a continuat investigarea efectului unor compusi organici (liganzi sau potentiali liganzi ai Fe(III)) asupra dizolvarii oxidative a sulfurilor minerale (acum PbS si CuFeS<sub>2</sub>), sulfuri cu reactivitate similara monosulfurilor de fier. Dizolvarea oxidativa s-a realizat in prezenta O<sub>2(aq)</sub> (solutii aerate), la pH 2.5 si la 25°C. Compusii organici studiati au fost sintetizati de Partenerul 1 (UAIC). Pentru caracterizarea interactiunii mineral/comus organic/solutie oxidanta s-au evaluat parametrii electrocinetici asociati procesului de oxidare (currentul de oxidare, i<sub>ox</sub>, potentialul de oxidare, E<sub>ox</sub>, si pantele Tafel (bc si ba)) si s-au colectat Spectrele de Impedanta Electochemicala (EIS) ale electrozilor de sulfuri minerale in medii ce contin compusii organici amintiti. De asemenea procesele chimice ce includ reactantii mentionati au fost analizate si prin voltametrie ciclica. Suprafetele probelor de galena (PbS) si calcopirita (CuFeS<sub>2</sub>) (initiale si reactionate in prezenta compusilor organici furnizati de Partenerul 1) au fost analizate prin microscopie electronica de baleaj (SEM) si spectroscopie Raman in laboratoarele Partenerului 2 (INCDFM).

In vederea realizarii obiectivelor Etapei 4 Partenerul 1 (UAIC) a realizat sinteza liganzilor de tip mono(TRIS).

In prezenta etapa de executie, partenerul P2 (INCDFM) a caracterizat prin microscopie electronica de baleaj (SEM) si spectroscopie Raman urmatoarele 6 probe: i) PbS pudra cu dimensiunea de 125 µm; ii) PbS pudra cu dimensiunea de 125µm (0.1 g) imersat in 50 ml solutie apoasa de C<sub>4</sub>NO<sub>3</sub>H<sub>11</sub> (abreviat TRIS) 1M, pH 2.5, temperatura 25°C, timp de imersie 1h; iii) PbS pudra cu dimensiunea de 125µm (0.25 g) imersat in 50 ml solutie apoasa de C<sub>11</sub>NO<sub>4</sub>H<sub>21</sub> (abreviat TRIS1) 1M, pH 2.5, temperatura 25°C, timp de imersie 1h; iv) CuFeS<sub>2</sub> pudra cu dimensiunea de 71 µm; v) CuFeS<sub>2</sub> pudra cu dimensiunea de 71 µm (0.5 g) imersat in 250 ml solutie apoasa de C<sub>4</sub>NO<sub>3</sub>H<sub>11</sub> 1M, pH 2.5, temperatura 25°C, timp de imersie 1h; si vi) CuFeS<sub>2</sub> pudra cu dimensiunea de 71 µm (0.5 g) imersat in 250 ml solutie apoasa de C<sub>11</sub>NO<sub>4</sub>H<sub>21</sub> 1M, pH 2.5, temperatura 25°C, timp de imersie 1h.

Studiile efectuate au condus la urmatoarele concluzii: i) analizele SEM in cazul probelor de PbS si CuFeS<sub>2</sub> inainte si dupa interactia cu compusii organici induc formarea unor cristale cu dimensiuni in domeniul 100-500 nm; studiile EDX au evideniat prezenta elementelor constitutive ale PbS si CuFeS<sub>2</sub>. Studiile EDX efectuate pe probele de PbS, si CuFeS<sub>2</sub> interactionate cu compusii organici nu au relevat prezenta altor elemente care sa provina de la compusii organici ii) spectrul Raman al pudrei de PbS cu dimensiunea de 125  $\mu\text{m}$  este caracterizat prin 4 linii la cca. 92, 138, 443 si 967  $\text{cm}^{-1}$ . Studiile Raman efectuate pe probele de PbS interactionate cu compusii organici TRIS si TRIS 1 au evideniat modificari in pozitia liniilor Raman atribuite modurilor de vibratie ale modurilor acustice transversale si longitudinale (LA+TA) ale structurii cubice, modului fononic optic longitudinal (2LO) si respectiv starii de dezordine/degradare; iii) spectrul Raman al CuFeS<sub>2</sub> este caracterizat printr-o linie Raman intensa la 461  $\text{cm}^{-1}$ . In cazul CuFeS<sub>2</sub> interactionate cu compusii organici TRIS si TRIS1, spectrele Raman indica o scadere semnificativa a intensitatii liniei Raman de la 461  $\text{cm}^{-1}$ , pana la disparitia completa, simultan cu cresterea intensitatii relative a liniei Raman de la 289  $\text{cm}^{-1}$ . Schimbarea valorii raportului intre intensitatile liniilor Raman din domeniile spectrale 100-350 si 400-600  $\text{cm}^{-1}$  in favoarea primelor indica o interacție a CuFeS<sub>2</sub> cu compusii organici.

# UNIVERSITATEA DIN CRAIOVA

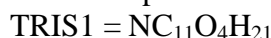
## 1. Introducere

In aceasta faza a proiectului am investigat efectul pe care il au doi compusi organici de tip mono(TRIS) (sintetizati de Partenerul 1 (UAIC)) asupra procesului de oxidare a PbS (galena) si CuFeS<sub>2</sub> (calcopirita). Metodele folosite pentru investigarea procesului de dizolvare oxidativa au fost: polarizarea potentiodinamica, spectroscopia de impedanta electrochimica si voltametria ciclica. Este important de cunoscut efectul pe care il au compusii organici asupra dizolvarii oxidative a sulfurilor minerale deoarece acest proces conduce la formarea acidului sulfuric si eliberarea in mediu apos a unor specii toxice, precum ionii de Pb, Cu, Zn, Hg, Cd, As etc. (Janzen si colab., 2000 ; Chirita si colab., 2008; Chirita si Rimstidt, 2014). Acidul sulfuric si ionii toxici sunt componente ale drenajului acid minier (AMD). Cunoasterea efectului compusilor organici asupra dizolvarii oxidative a sulfurilor metalice poate insemna controlul fenomenului AMD.

## 2. Parte experimentală

### 2.1. Materiale

Experimentele electrochimice s-au realizat fie cu electrozi masivi de PbS (naturala) sau cu electrozi pasta de carbon (EPC) pe care s-au depus pulberi de CuFeS<sub>2</sub> (71  $\mu\text{m}$ ) sau PbS (125  $\mu\text{m}$ ). Pentru prepararea solutiilor s-a folosit apa distilata si reactivi p.a. sau sintetizati in laboratoarele UAIC (Partenerul 1). Reactivii sintetizati de Partenerul 1 si testati in cadrul acestei etape sunt:



Acesti compusi au in moleculelor legaturi multiple sau heteroatomi (N si O) care pot functiona ca donori de electroni (liganzi) pentru ionii de Fe(III).

### 2.2. Masuratori electrochimice

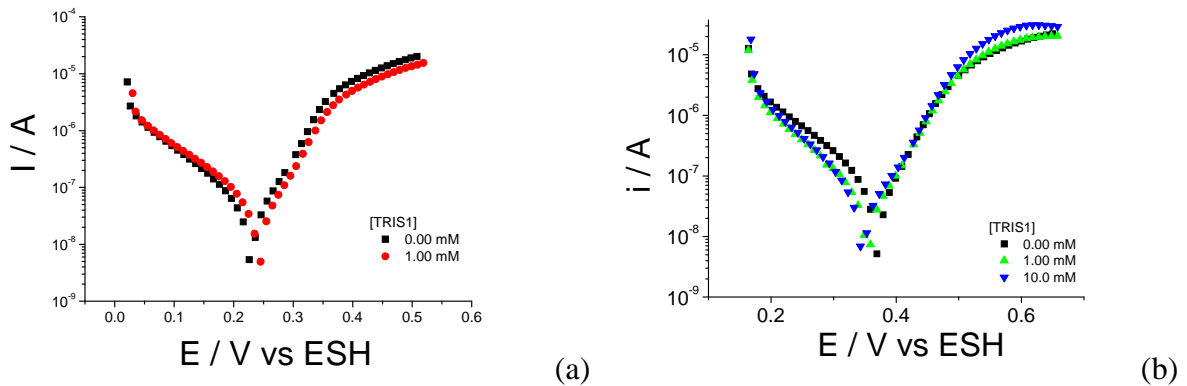
Experimentele au fost realizate folosind o celula conventionala cu trei electrozi (KMZ3). Electrozii de lucru au fost confectionati fie dintr-o bucată paralelipipedica de PbS naturala (incapsulata in rasina epoxidica) sau au fost de tip EPC pe care s-a depus (prin presare) pulberea de calcopirita (71  $\mu\text{m}$ ) sau pulberea de PbS (125  $\mu\text{m}$ ). In calitate de contraelectrod s-a folosit o folie de Pt. Ca electrod de referinta s-a folosit un electrod de calomel saturat (ECS). Masuratorile au fost realizate cu o statie electrochimica Zahner Zennium, iar datele au fost prelucrate cu programul Thales. Potentialele au fost exprimate in raport cu Electrodul Standard de Hidrogen (ESH). S-au realizat urmatoarele tipuri de masuratori:

- polarizare potentiodinamica;
- voltametrie ciclica (CV);
- spectroscopie de impedanta electrochimica.

## 3. Rezultate

### 3.1. Efectul TRIS1 asupra procesului de dizolvare oxidativa a PbS si CuFeS<sub>2</sub>. Experimente electrochimice

Curbele Tafel ale EPC, pe suprafata caruia s-a depus (prin presare) fie pulbere de CuFeS<sub>2</sub>, fie pulbere de PbS, imersat in solutii de TRIS1 sunt prezentate in Fig. 1.



**Figura 1.** Polarizarea potentiodinamica a electrozilor de PbS (a) si CuFeS<sub>2</sub> (b) la pH 2.5 si temperatura de 25°C in solutii de TRIS1.

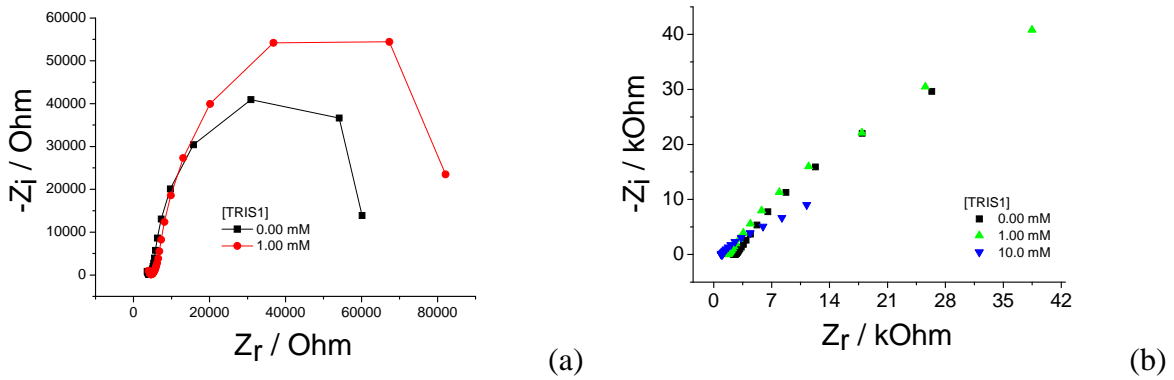
**Tabelul 1.** Parametrii electrocinetici obtinuti pentru electrodul de PbS la temperatura de 25°C in solutii de TRIS1 cu pH 2.5.

[TRIS1]/ mM	E <sub>ox</sub> /V	i <sub>ox</sub> nA cm <sup>-2</sup>	ba / mV dec <sup>-1</sup>	bc / mV dec <sup>-1</sup>
0.00	0.239	31.3	60.1	-113
1.00	0.248	51.1	67.4	-142

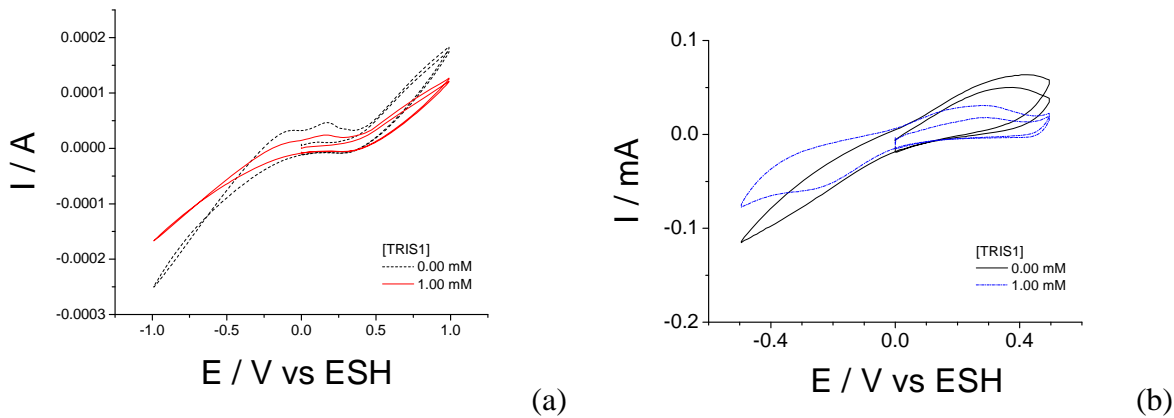
**Tabelul 2.** Parametrii electrocinetici obtinuti pe electrod de CuFeS<sub>2</sub> la temperatura de 25°C in solutii de TRIS1, pH 2.5.

[TRIS1]/ mM	E <sub>ox</sub> /V	i <sub>ox</sub> /nA cm <sup>-2</sup>	ba /mV dec <sup>-1</sup>	bc /mV dec <sup>-1</sup>
0.00	0.373	149.75	63.7	-121
1.00	0.357	97	67	-108
10.0	0.351	97.5	66.7	-97.2

Din analiza datelor obtinute (Tabelul 1 si 2) s-a observat ca prezenta compusului organic TRIS1 in solutiile aerate conduce la o scadere a curentilor de dizolvare oxidativa (i<sub>ox</sub>) asociati oxidarii calcopiritei. Prezenta compusului organic TRIS1 in solutie produce o scadere a i<sub>ox</sub> cu pana la 35%. Valorile potențialelor de oxidare (E<sub>ox</sub>) scad si ele atunci cand materialul care se oxideaza este calcopirita. In cazul PbS situatia este inversa. Prezenta compusului organic in solutie conduce la o usoara crestere a i<sub>ox</sub>, iar E<sub>ox</sub> sufera, de asemenea, o crestere. Totusi, in cazul ambilor electrozi curenti (I) asociati zonei anodice sunt mai mici atunci cand in sistem este prezent compusul TRIS1. Acest lucru este in concordanță cu rezultatele masuratorilor de impedanță (Figura 2a). Figura 2b arată ca datele de la frecvențe mici și medii pot fi asociate procesului de oxidare a sulfurilor (aici cazul CuFeS<sub>2</sub>), și susțin un proces de inhibare a oxidării electrodului de sulfura atunci cand in sistem este prezent este TRIS1.



**Figura 2.** Curbele Nyquist ale EPC acoperiti cu pulberi de PbS (a) si CuFeS<sub>2</sub> (b) in solutii de TRIS1 la temperatura de 25°C si pH 2.5. Conditii: 10mHz-100KHz, amplitudinea 10 mV.

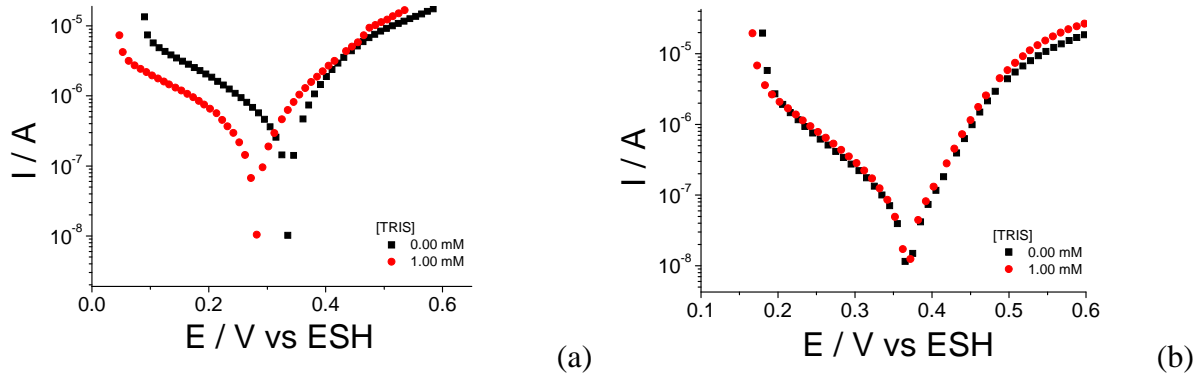


**Figura 3.** Voltamogramele ciclice ale EPC acoperiti cu pulberi de PbS (a) si CuFeS<sub>2</sub> (b) in solutii de TRIS1 la temperatura de 25°C si pH 2.5.

Voltamogramele ciclice arata ca procesul de oxidare (potentiale mari) este incetinit de prezenta compusului TRIS, iar procesul de reducere (potentiale mici) este accelerat de compusul organic. Aceste observatii sunt in buna concordanta cu observatiile provenite de la masuratorile potentiodinamice si cele de impedanta.

### 3.2. Efectul TRIS asupra procesului de dizolvare oxidativa a PbS si CuFeS<sub>2</sub>. Experimente electrochimice

Curbele Tafel ale electrodului masiv de PbS si, respectiv, EPC pe suprafata caruia s-au depus pulberi de CuFeS<sub>2</sub>, imersati in solutii de TRIS, sunt prezentate in Figura 4.



**Figura 4.** Curbele de polarizare potentiodinamica ale electrodului de PbS (a) si EPC acoperit cu pulbere de CuFeS<sub>2</sub> (b) la temperatura de 25°C, in solutii de TRIS cu pH 2.5.

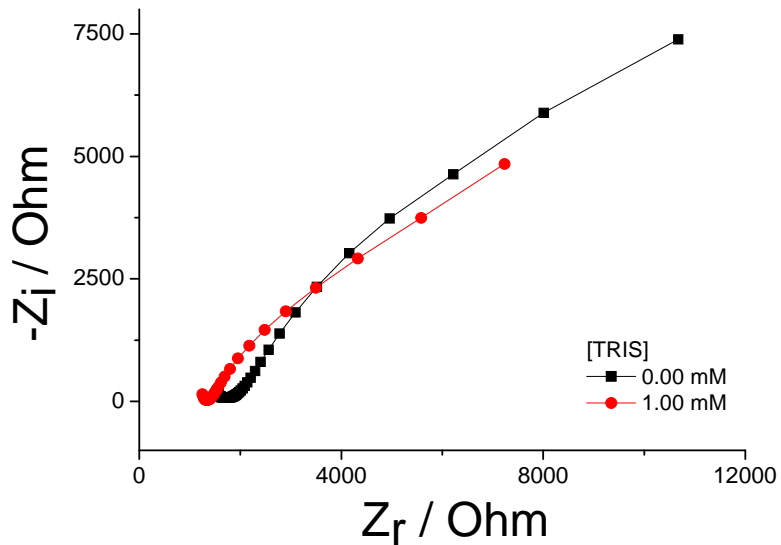
**Tabelul 3.** Parametrii electrocinetici ai electrodului de PbS incapsulat in rasina epoxidica in solutii de TRIS cu temperatura de 25°C si pH 2.5.

[TRIS] / mM	E <sub>ox</sub> / V	i <sub>ox</sub> / nA cm <sup>-2</sup>	ba / mV dec <sup>-1</sup>	bc / mV dec <sup>-1</sup>
0.00	0.327	1000	113	136
1.00	0.279	780	-185	-220

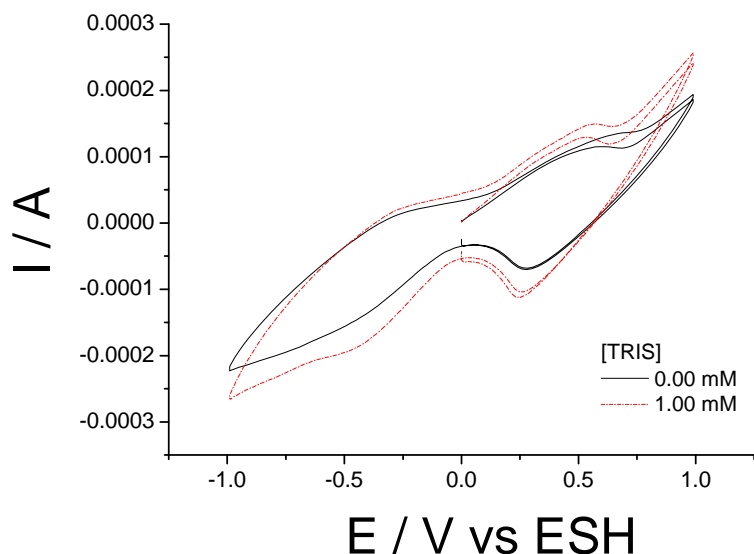
**Tabelul 3.** Parametrii electrocinetici ai electrodului de CuFeS<sub>2</sub> in solutii de TRIS cu temperatura de 25°C si pH 2.5.

[TRIS] / mM	E <sub>ox</sub> / V	i <sub>ox</sub> / nA cm <sup>-2</sup>	ba / mV dec <sup>-1</sup>	bc / mV dec <sup>-1</sup>
0.00	0.378	48.2	56.6	-110
1.00	0.376	54.0	55	-107

Analiza datelor de polarizare potentiodinamica pentru cazul compusului organic TRIS (Tabelul 3 si 4) arata ca prezenta TRIS in solutiile aerate are efecte diferite asupra celor doua sulfuri. In cazul PbS se produce o scadere a i<sub>ox</sub>, pe cand in cazul calcopiritei se observa o crestere a acestui parametru. Este important de notat ca in cazul PbS E<sub>ox</sub> sufera o scadere notabila cand TRIS este introdus in sistem. Cresterea i<sub>ox</sub> (cazul electrodului de calcopirita) la introducerea TRIS in mediul de oxidare este sustinuta si de masuratorile de imedanta (Figura 5). Mai mult, efectul TRIS asupra procesului de reducere – catodic - (Figura 6) este invers decat cel observat in cazul compusului TRIS1.

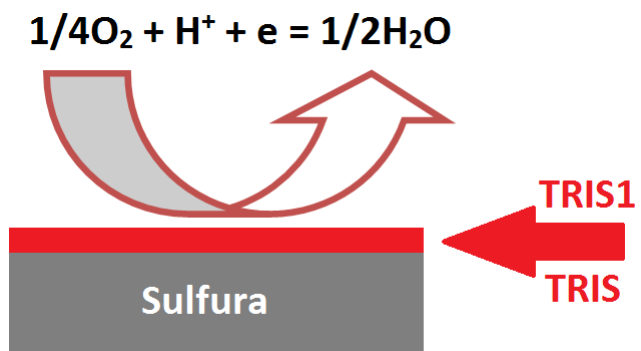


**Figura 5.** Curbele Nyquist ale electrodului de  $\text{CuFeS}_2$  la temperatura de  $25^\circ\text{C}$  in solutii de TRIS cu pH 2.5. Conditii: 10mHz-100KHz, amplitudinea 10 mV.



**Figura 6.** Voltamogramele ciclice ale electrodului de  $\text{CuFeS}_2$  la temperatura de  $25^\circ\text{C}$  in solutii de TRIS avand pH-ul de 2.5.

Cel mai probabil compusii organici TRIS1 si TRIS interactioneaza cu suprafata sulfurilor studiate (Figura 7) si modifica cele doua procese, cel catodic (reducerea  $\text{O}_2$ ) si, respectiv, anodic (oxidarea sulfurii minerale). Este posibil ca efectul accelerator (observat in cazul binomului calcopirita/TRIS) poate fi rezultatul unui efect de dizolvare superficiala a mineralului sub influenta compusului organic (Badica si Chirita, 2015).



**Figura 7.** Mecanismul (simplificat) de actiune al TRIS1 si TRIS asupra oxidarii sulfurilor minerale. Stratul portocaliu indica stratul de adsorbtie format din TRIS1 sau TRIS.

#### 4. Concluzii

In Faza a 4-a a proiectului s-a investigat comportamentul la polarizare al electrozilor de PbS si CuFeS<sub>2</sub> in prezenta a doi compusi organici (TRIS1 si TRIS), compusi organici (liganzi sau potential liganzi ai Fe(III)) furnizati de Partenerul 1 (UAIC). Prezenta celor doi compusi organici in sistemul de reactii influenteaza dizolvarea oxidativa a sufurilor studiate. Compusul TRIS 1 produce o inhibare a procesului anodic (oxidarea sulfurii) si o accelerare a procesului catodic (reducerea O<sub>2</sub>). Acest lucru demonstreaza complexitatea proceselor care se produc intre mineral, compusul organic si oxidant. In cel mai simplu model, compusul organic se adsoarbe pe suprafata sulfurii metalice si inhiba dizolvarea oxidativa. Incercand sa modelam mai exact observatiile experimentale putem adauga si dizolvarea mineralului asistata de compusul organic (Badica si Chirita, 2015).

Compul TRIS are un efect inhibitor asupra dizolvării oxidative a PbS si un efect accelerator asupra oxidarii calcopiritei. Acest tip de comportament este indicat de masuratorile de polarizare, iar in cazul CuFeS<sub>2</sub> si de masuratorile de impedanta si de voltametria ciclica.

*Pe baza rezultatelor experimentale obtinute pana in prezent, in 2015 s-au publicat 2 articole ISI, iar 1 articol este sub evaluare la o revista ISI. De asemenea au fost prezentate 4 lucrari la conferinte internationale de specialitate. Toate aceste publicatii sunt listate pe pagina web a proiectului: <http://www.chem.uaic.ro/files/file/e咖啡/index.html>.*

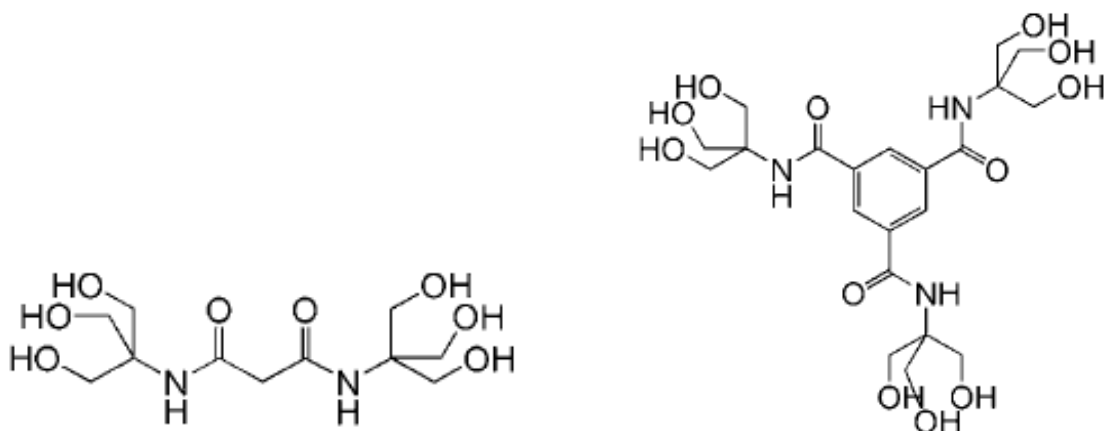
#### Bibliografie

- Badica C.E., Chirita P. (2015) An electrochemical study of the oxidative dissolution of iron monosulfide (FeS) in air-equilibrated solutions. *Electrochimica Acta* 178, 786-796.
- Chirita P., Descostes M. and Schlegel M.L. (2008) Oxidation of FeS by oxygen-bearing acidic solutions. *J. Colloid Interface Sci.* 321, 84-95.
- Chirita P., Rimstidt J.D. (2014) Pyrrhotite dissolution in acidic media. *Applied Geochemistry* 41 1-10.
- Janzen M.P., Nicholson R.V. and Scharer J.M. (2000) Pyrrhotite reaction kinetics: reaction rates for oxidation by oxygen, ferric iron, and for nonoxidative dissolution. *Geochim. Cosmochim. Acta* 64, 1511-1522.

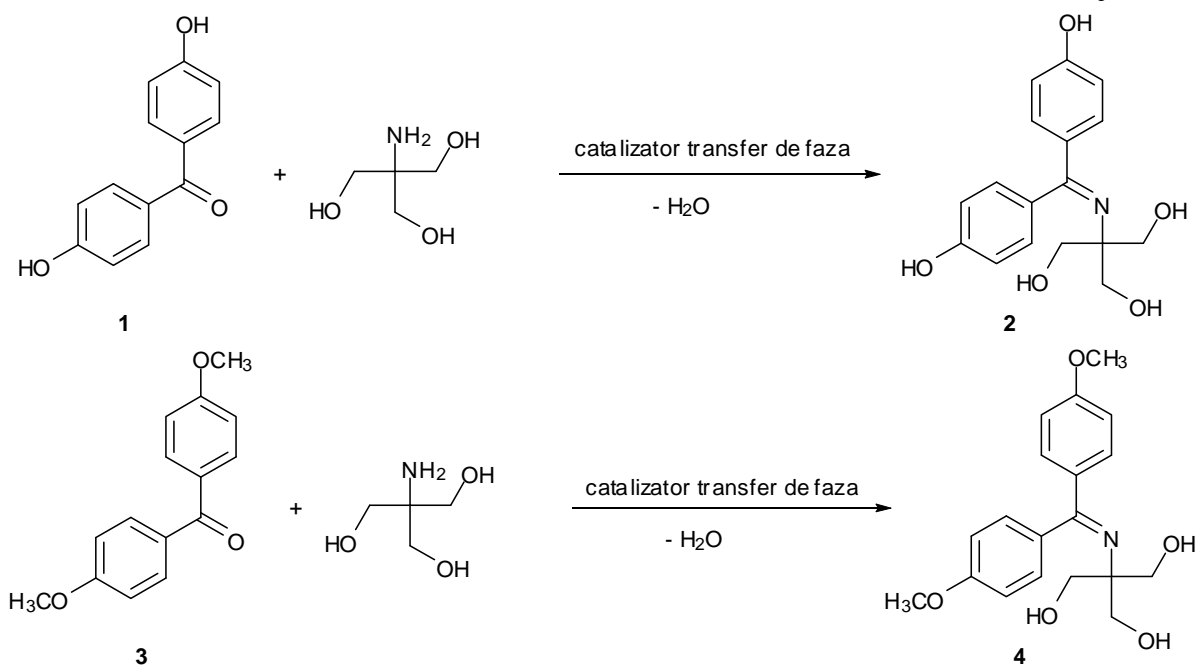
## UNIVERSITATEA A.I. CUZA IASI

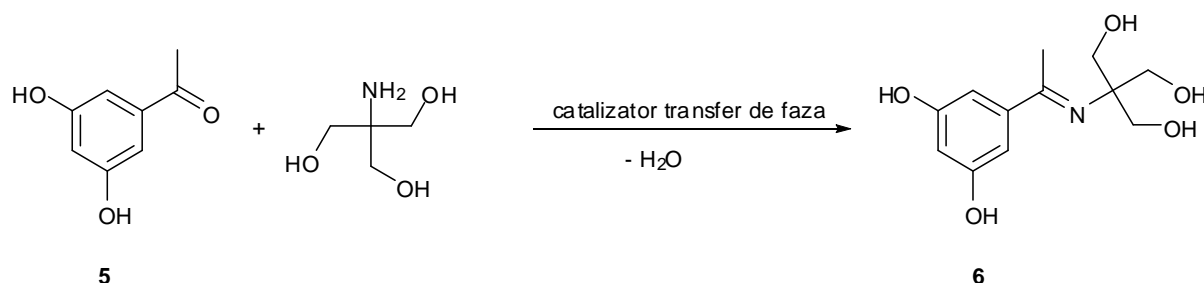
### Sinteza liganzilor de tip mono(TRIS)

Polioxometalatii reprezinta o clasa importanta de compusi anorganici ce contin clusteri anionici de oxizi metalici; acesti compusi prezinta proprietati structurale si fizico-chimice de un interes deosebit. O modalitate de extindere a chimiei polioxometalatilor o constituie sinteza unor combinatii hibride anorganice - organice, prin includerea unor compusi organici in structura acestora. Tris(hidroximetil)aminometan (TRIS) este o unitate structurala cu o importanta deosebita in chimia polioxometalatilor datorita abilitatilor acestuia de a se lega de zone specifice ale polioxometalatilor. Aceste proprietati ale tris(hidroximetil)aminometanului a dus la dezvoltarea unor serii de polioxometalati grefate cu unitati de tris(hidroximetil)aminometan, doua exemple fiind prezentate mai jos.



Pornind de la aceste considerente activitatea prevazuta in cadrul celei de a patra etape vizeaza sinteza unor baze Schiff prin reactia tris(hidroximetil)aminometanului cu o serie de compusi carbonilici, diferit substituiti cu grupari polare. Reactiile de condensare a tris(hidroximetil)aminometanului cu bis(4-hidroxifenil)cetona **1**, bis(4-metoxifenil)cetona **3** si 3,5-dihidroxiacetofenona **5** conduc la bazele Schiff **2**, **4** si **6**, conform schemei de mai jos.

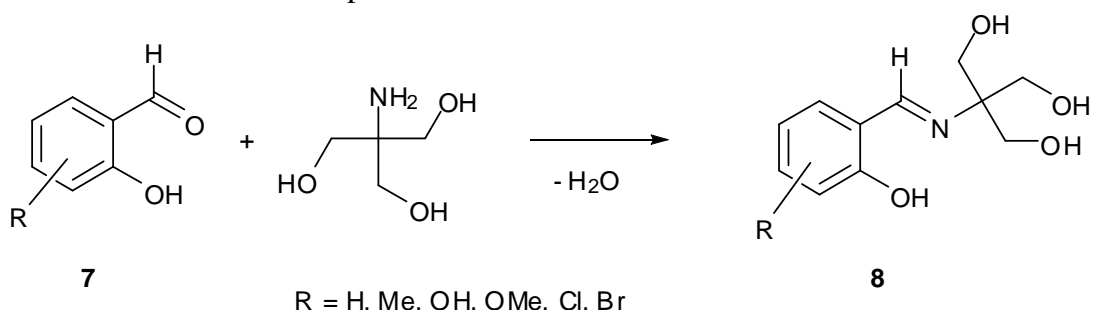




In general, metodele de sinteza ce implica tris(hidroximetil)aminometanul ridica probleme tehnice in ceea ce priveste solubilitatea acestui compus in solventi organici. Avind in vedere solubilitatea foarte buna in apa a acestor compusi, strategia sintetica pentru obtinerea compusilor de tipul bazelor Schiff **2**, **4** si **6**, implica utilizarea de catalizatori de transfer de sarcina din clasa sarurilor de tetraalchil amoniu (bromura de tetrabutilamoniu, bromura de dodecil-trimetilamoniu). Prin varierea conditiilor de reactie (catalizator, temperatura, solvent organic) s-a reusit sinteza bazelor Schiff **2**, **4** si **6**, cu randamente mici intre 12 si 18%; pentru baza Schiff **6** a fost inregistrat cel mai bun randament.

Reactivitatea scazuta a cetonelor **1**, **3** si **5** fata de tris(hidroximetil)aminometan a condus la deschiderea unei noi directii de investigare a sintezei acestui tip de baze Schiff, directie ce utilizeaza aldehyde, compusi carbonilici mai reactivi decit cetonale. Din marea varietate de substraturi disponibile teoretic, a fost investigata reactivitatea fata de tris(hidroximetil)aminometan a aldehidelor aromatic substituite cu grupari hidroxi sau metoxi. Astfel, prin varierea naturii substituentului si a pozitiei acestuia fata de gruparea formil, au putut fi trase urmatoarele concluzii: substraturile cu grupari hidroxi sunt mai reactive fata de tris(hidroximetil)aminometan decit substraturile cu grupari metoxi si cea mai buna reactivitate o inregistreaza aldehydele aromatic substituite cu grupari hidroxi in pozitia orto fata de gruparea formil.

Tratarea orto-hidroxi benzaldehidelor diferit substituite cu tris(hidroximetil)aminometan conduce, printr-o reactie exoterna, la mono bazele Schiff de tip 8 cu randamente foarte bune cuprinse intre 75 si 88%.



Compusii sintetizati conform schemei de reactie de mai sus au fost caracterizati din punct de vedere analitic si spectral.

# **INSTITUTUL NATIONAL DE CERCETARE DEZVOLTARE PENTRU FIZICA MATERIALELOR**

**Descrierea stiintifica si tehnica, cu punerea in evidenta a rezultatelor etapei si gradul de realizare a obiectivelor - se vor indica rezultatele si modul de diseminare a rezultatelor**

## **1. Introducere**

Conform bazei de date WEB OF SCIENCE in 2015 au fost raportate cca. 2073 articole ISI focalizate pe PbS si 27 articole ISI focalizate pe CuFeS<sub>2</sub>. Interesul pentru aceste doua materiale a fost datorat aplicatiilor din domeniul senzorilor<sup>1</sup>, photocatalizei<sup>2</sup>, celulelor solare<sup>3</sup>, dispozitivelor fotovoltaice<sup>4</sup>, medicinii – la repararea oaselor<sup>5</sup>, microfluidelor<sup>6</sup>, bateriilor cu ioni de Li<sup>+</sup><sup>7</sup> etc. In prezentul proiect, obiectivul acestei etape este caracterizarea prin microscopie electronica de baleaj (SEM) si spectroscopie Raman a 6 probe dupa cum urmeaza: i) PbS pudra cu dimensiunea de 125µm; ii) PbS pudra cu dimensiunea de 125µm (0.1 g) imersata in 50 ml solutie apoasa de C<sub>4</sub>NO<sub>3</sub>H<sub>11</sub> 1M, pH 2.5, temperatura 25°C, timp de imersie 1h; iii) PbS pudra cu dimensiunea de 125µm (0.25 g) imersat in 50 ml solutie apoasa de C<sub>11</sub>NO<sub>4</sub>H<sub>21</sub> 1M, pH 2.5, temperatura 25°C, timp de imersie 1h; iv) CuFeS<sub>2</sub> pudra cu dimensiunea de 71 µm; v) CuFeS<sub>2</sub> pudra cu dimensiunea de 71 µm (0.5 g) imersat in 250 ml solutie apoasa de C<sub>4</sub>NO<sub>3</sub>H<sub>11</sub> 1M, pH 2.5, temperatura 25°C, timp de imersie 1h; si vi) CuFeS<sub>2</sub> pudra cu dimensiunea de 71 µm (0.5 g) imersat in 250 ml solutie apoasa de C<sub>11</sub>NO<sub>4</sub>H<sub>21</sub> 1M, pH 2.5, temperatura 25°C, timp de imersie 1h.

## **2. Partea experimentală**

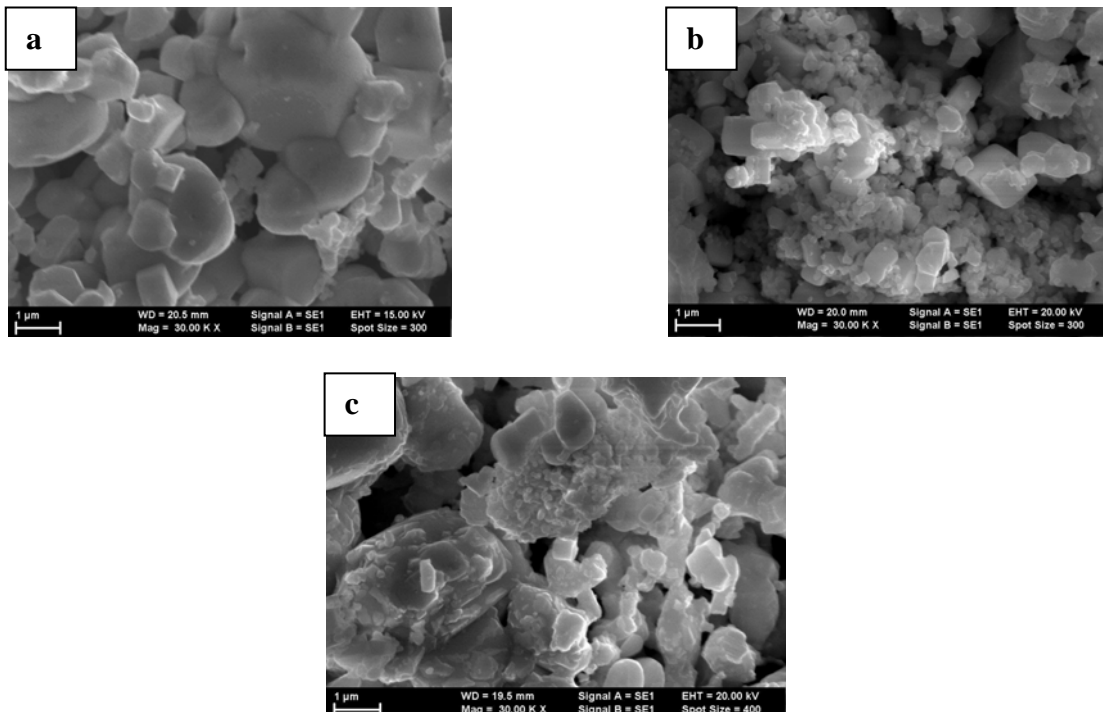
Morfologia probelor de PbS si CuFeS<sub>2</sub> in starea initiala si dupa interactia cu compusii organici C<sub>11</sub>NO<sub>4</sub>H<sub>21</sub> (TRIS) si C<sub>11</sub>NO<sub>4</sub>H<sub>21</sub> (TRIS1) precum si compozitia elementara a acestor probe a fost studiata folosind un microscop electronic de baleaj de tip Zeiss Evo 50 XVP echipat cu un accesoriu EDX Quatax Bruker 200.

Studiile Raman au fost facute sub microscop folosind un spectrofotometru Raman model T64000 de la Horiba Jovin Yvon echipat cu un laser cu kripton ( $\lambda_{exc} = 514$  nm).

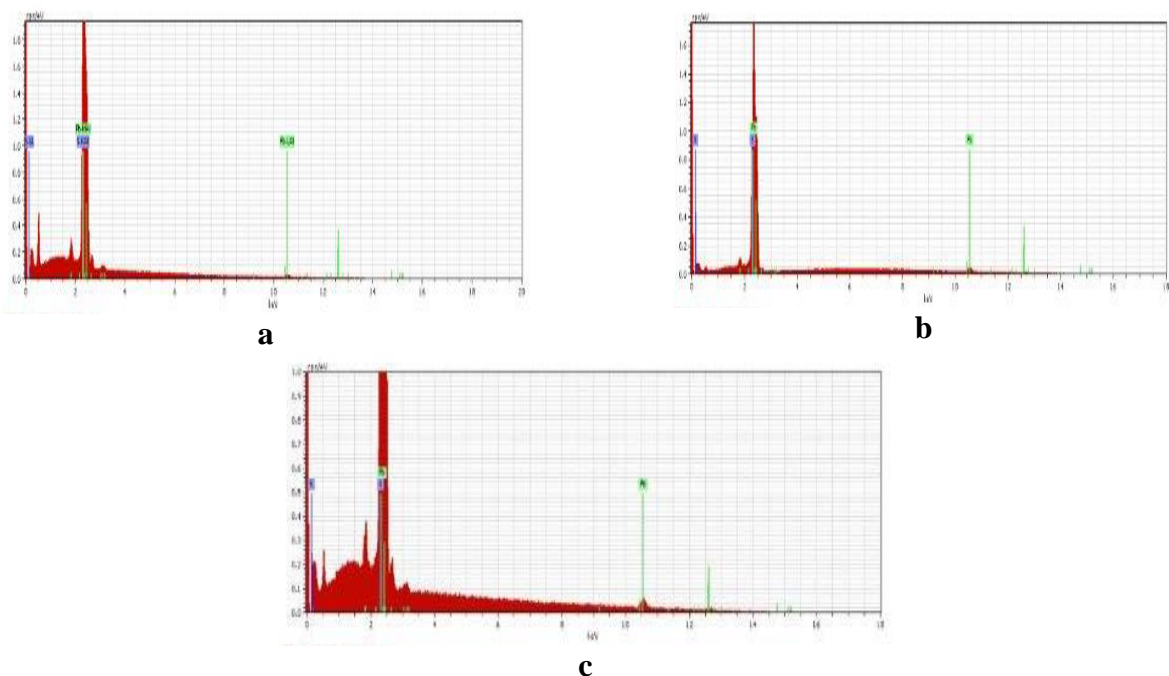
## **3. Rezultate si discutii**

### **3.1 Caracterizarea SEM/EDX si Raman a probelor de PbS inainte si dupa interactia cu compusii TRIS si TRIS1**

Figura 1 prezinta imaginile SEM ale particulelor de PbS in starea initiala (a) si dupa interactia chimica cu compusii TRIS (b) si TRIS1 (c). Interactia PbS cu compusii organici TRIS si TRIS1 conduce la aparitia unor particule de dimensiune intre 100-500 nm. Figurile 2a-c prezinta analizele EDX.



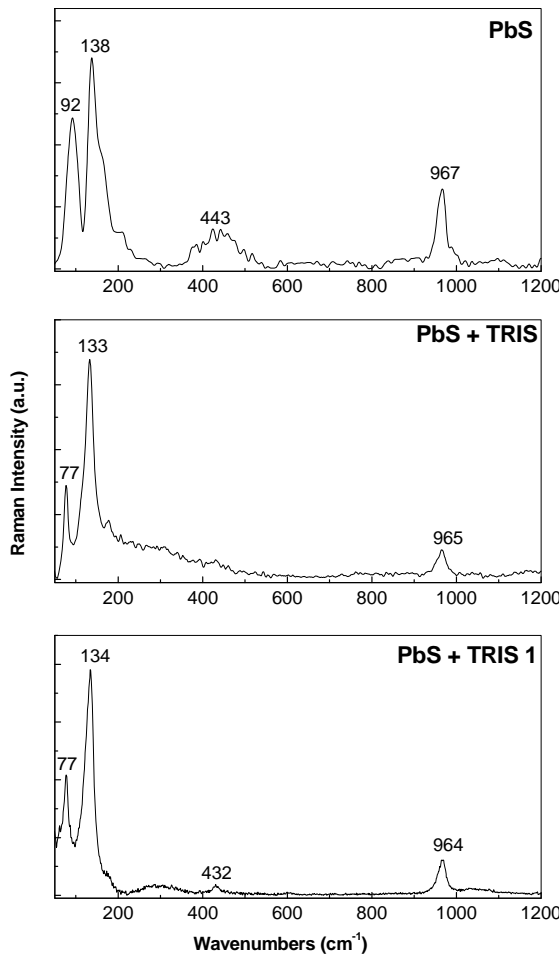
**Fig.1** Imaginele SEM ale probei de PbS in starea initiala (a)  
si dupa interactia cu compusii TRIS (b) si TRIS1 (c)



**Fig. 2** Analizele EDX ale probelor de PbS in starea initiala (a)  
si dupa interactia cu compusii TRIS (b) si TRIS1 (c)

Ponderea Pb si S in cazul : i) pudrei de PbS cu dimensiunea de  $125\mu\text{m}$  este 21.64%S si 78.36% Pb; ii) pudrei de PbS cu dimensiunea de  $125\mu\text{m}$  (0.1 g) imersata in 50 ml solutie apoasa de  $\text{C}_4\text{NO}_3\text{H}_{11}$  1M, pH 2.5, temperatura  $25^{\circ}\text{C}$ , timp de imersie 1h este 20.79%S si 79.21%Pb; si iii) in cau pudrei de PbS cu dimensiunea de  $125\mu\text{m}$  (0.25 g) imersat in 50 ml solutie apoasa de  $\text{C}_{11}\text{NO}_4\text{H}_{21}$  1M, pH 2.5, temperatura  $25^{\circ}\text{C}$ , timp de imersie 1h este 17.27%S

si 82.73% Pb. Cresterea ponderii Pb in prezenta compusilor organici indica formarea unor complecsi Pb-TRIS si Pb-TRIS1.

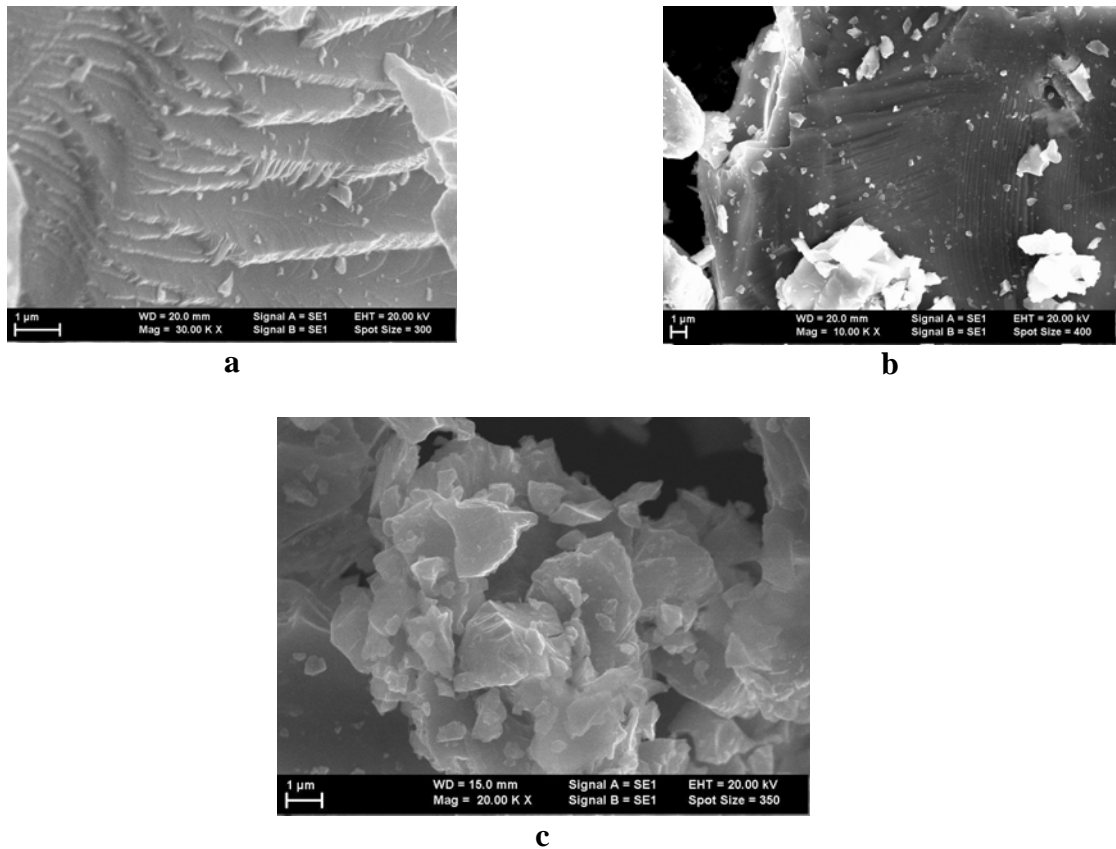


**Fig. 3** Spectrele Raman ale PbS in starea initiala (a) si dupa interactia cu compusii TRIS (b) si TRIS1 (c)

Conform Figurii 3, principalele linii Raman ale PbS sunt situate la 92, 138, 443 si 967  $\text{cm}^{-1}$  fiind asociate vibratiilor Pb-Pb, modurilor acustice transversale si longitudinale (LA+TA) ale structurii cubice a PbS [8], modului fononic optic longitudinal (2LO) [9] si respectiv starii de dezordine/degradare [10-12]. Conform Fig. 3, interactia PbS cu compusii TRIS si TRIS1 induce urmatoarele modificari in spectrul vibrational al PbS : i) o deplasare catre energii mici a celor 4 linii Raman caracteristice PbS de la 92, 138, 443 si 967  $\text{cm}^{-1}$  la 77, 133, 432 si 964  $\text{cm}^{-1}$  si ii) o scadere a intensitatii relative a starii de dezordine/degradare a PbS, fapt ce induce o modificare a valorii raportului intre intensitatatile relative a liniilor Raman atribuite modurilor acustice transversale si longitudinale (LA+TA) ale structurii cubice si starii de dezordine/degradare a PbS de la 2.6 (Fig.3a) la 7.4 (Fig.3b) si 6.4 (Fig. 3c). In opinia noastră, aceste modificari pot fi considerate probe pentru interactia PbS cu cei doi compusi organici.

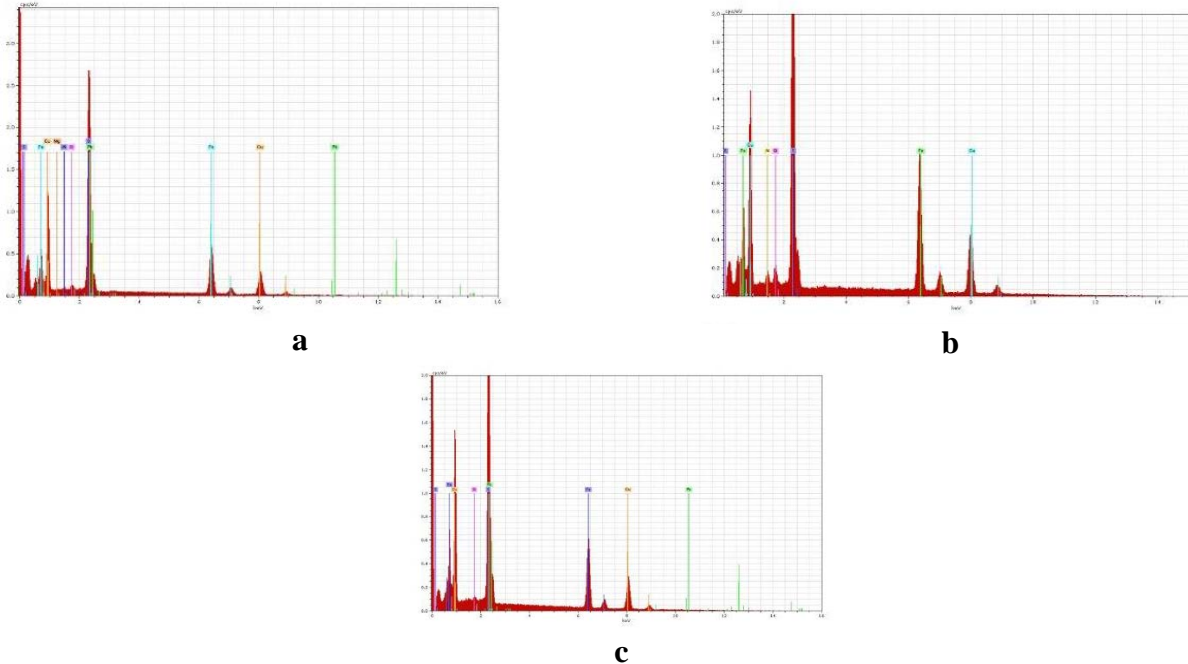
### 3.2 Caracterizarea SEM/EDX si Raman a probelor de CuFeS<sub>2</sub> inainte si dupa interactia cu compusii organici TRIS si TRIS 1

Figurile 4 si 5 prezinta imaginile SEM si spectrele EDX ale probelor de CuFeS<sub>2</sub> inainte si dupa interactia cu compusii TRIS si TRIS 1. Conform Fig. 4 imaginile SEM ale CuFeS<sub>2</sub> inainte si dupa interactia cu compusii organici TRIS si TRIS1 evidentaaza formarea unor defecte in structua morfologica a CuFeS<sub>2</sub>.

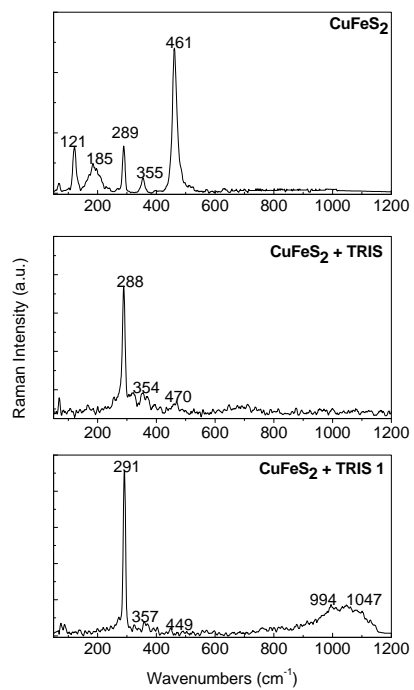


**Fig. 4** Imaginile SEM ale probelor de  $\text{CuFeS}_2$  in starea initiala (a) si dupa interactia cu TRIS (b) si TRIS 1 (c)

Conform, Fig. 4 in prezenta compusilor organici se observa o fragmentare a placilor de  $\text{CuFeS}_2$ . Poderea Cu, Fe si S in cele 3 probe este: a) in cazul pudrei de  $\text{CuFeS}_2$  cu dimensiunea de 71  $\mu\text{m}$  de 25.16%Cu, 27.61%Fe si 42.89%S.; ii) in cazul pudrei de  $\text{CuFeS}_2$  cu dimensiunea de 71  $\mu\text{m}$  (0.5 g) imersata in 250 ml solutie apoasa de  $\text{C}_4\text{NO}_3\text{H}_{11}$  1M, pH 2.5, temperatura  $25^{\circ}\text{C}$ , timp de imersie 1h este de 35.11%Cu, 28.18%Fe si 34.12%S; si iii) in cazul pudrei de  $\text{CuFeS}_2$  cu dimensiunea de 71  $\mu\text{m}$  (0.5 g) imersata in 250 ml solutie apoasa de  $\text{C}_{11}\text{NO}_4\text{H}_{21}$  1M, pH 2.5, temperatura  $25^{\circ}\text{C}$ , timp de imersie 1h este de 26.61%Cu, 27.92%Fe si 42.41%S. Principalele linii Raman ale  $\text{CuFeS}_2$  sunt situate in domeniile spectrale 100-300, 400-600 si 1200-1400  $\text{cm}^{-1}$  avand maximele situate la cca. 212, 272, 363, 473, 572 si 1280  $\text{cm}^{-1}$  (Fig.12). Liniile Raman din domeniile spectrale 100-370 si 450-600  $\text{cm}^{-1}$  sunt atribuite vibratiei de legatura S-S-S si respectiv vibratiei de intindere S-S [13, 14]. In cazul  $\text{CuFeS}_2$  interactionate cu compusii organici TRIS si TRIS1, spectrele Raman indica o scadere semnificativa a intensitatii liniei Raman de la  $461 \text{ cm}^{-1}$  pana la disparitia completa, simulant cu cresterea intensitatii relative a liniei Raman de la  $289 \text{ cm}^{-1}$ . Schimbarea valorii raportului intre intensitatile liniilor Raman din domeniile spectrale 100-350 si 400-600  $\text{cm}^{-1}$  ( $I_{289}/I_{461-470}$ ) de la 0.33 ( $\text{CuFeS}_2$ ) la 5.5 ( $\text{CuFeS}_2 + \text{TRIS}$ ) si 20 ( $\text{CuFeS}_2 + \text{TRIS1}$ ) indica in mod clar o interactie chimica a  $\text{CuFeS}_2$  cu compusii organici.



**Fig. 5** Analizele EDX ale probelor de  $\text{CuFeS}_2$  in starea initiala (a) si dupa interactia cu compusii organici TRIS (b) si TRIS 1 (c).



**Fig. 6** Spectrele Raman ale  $\text{CuFeS}_2$  in starea initiala (a) si dupa interactia cu TRIS (b) si TRIS 1 (c)

## Concluzii

In aceast raport de cercetare au fost caracterizate prin microscopie electronica de baleaj (SEM) si spectroscopie Raman 6 probe continand: i) PbS pudra cu dimensiunea de  $125 \mu\text{m}$ ; ii) PbS pudra cu dimensiunea de  $125\mu\text{m}$  ( $0.1 \text{ g}$ ) imersata in  $50 \text{ ml}$  solutie apoasa de  $\text{C}_4\text{NO}_3\text{H}_{11}$  (compus abreviat TRIS)  $1\text{M}$ ,  $\text{pH} = 2.5$ , temperatura  $25^{\circ}\text{C}$ , timp de imersie  $1\text{h}$ ; iii)

PbS pudra cu dimensiunea de  $125\mu\text{m}$  (0.25 g) imersata in 50 ml solutie apoasa de  $\text{C}_{11}\text{NO}_4\text{H}_{21}$  (compus abreviat TRIS1) 1M, pH = 2.5, temperatura  $25^{\circ}\text{C}$ , timp de imersie 1h; iv)  $\text{CuFeS}_2$  pudra cu dimensiunea de  $71\mu\text{m}$ ; v)  $\text{CuFeS}_2$  pudra cu dimensiunea de  $71\mu\text{m}$  (0.5 g) imersata in 250 ml solutie apoasa de  $\text{C}_4\text{NO}_3\text{H}_{11}$  1M, pH = 2.5, temperatura  $25^{\circ}\text{C}$ , timp de imersie 1h; si vi)  $\text{CuFeS}_2$  pudra cu dimensiunea de  $71\mu\text{m}$  (0.5 g) imersata in 250 ml solutie apoasa de  $\text{C}_{11}\text{NO}_4\text{H}_{21}$  1M, pH 2.5, temperatura  $25^{\circ}\text{C}$ , timp de imersie 1h.

Principalele concluzii ale acestor studii sunt:

i) analizele SEM in cazul probelor de PbS si  $\text{CuFeS}_2$  inainte si dupa interactia cu compusii organici induc formarea unor cristale cu dimensiuni in domeniul 100-500 nm; studiile EDX au evideniat prezenta elementelor constitutive ale PbS si  $\text{CuFeS}_2$ . Studiile EDX efectuate pe probele de PbS si  $\text{CuFeS}_2$  interactionate cu compusii organici nu au relevat prezenta altor elemente care sa provina de la compusii organici ;

ii) spectrul Raman al pudrei de PbS cu dimensiunea de  $125\mu\text{m}$  este caracterizat prin 4 linii la cca.  $92$ ,  $138$ ,  $443$  si  $967\text{ cm}^{-1}$ . Studiile Raman efectuate pe probele de PbS interactionate cu compusii organici TRIS si TRIS 1 au evideniat modificari ale pozitiei liniilor Raman atribuite modurilor de vibratie ale modurilor acustice transversale si longitudinale (LA+TA) ale structurii cubice, modului fononic optic longitudinal (2LO) si respectiv starii de dezordine/degradare;

iii) spectrul Raman al  $\text{CuFeS}_2$  este caracterizat printr-o linie Raman intensa la  $461\text{ cm}^{-1}$ . In cazul  $\text{CuFeS}_2$  interactionate cu compusii organici TRIS si TRIS1, spectrele Raman indica o scadere semnificativa a intensitatii liniei Raman de la  $461\text{ cm}^{-1}$ , pana la disparitia completa, simultan cu cresterea intensitatii relative a liniei Raman de la  $289\text{ cm}^{-1}$ . Schimbarea valorii raportului intre intensitatatile liniilor Raman din domeniile spectrale  $100$ - $350$  si  $400$ - $600\text{ cm}^{-1}$  in favoarea primelor poate fi considerata o proba a interactiei  $\text{CuFeS}_2$  cu compusii organici.

## Referinte

- [1] C. Ashok, L. Matvey, A. Ibrahim, Nanotechnology 26, 703, 2015
- [2] A. Somayeh, N. E. Alireza, J. Molecular Catalysis A – Chemical 408, 152, 2015
- [3] X.D. Yao, S.J. Liu, Y.J. Chang, G.P. Li, L.F. Mi, X.M. Wang, Y. Jiang, ACS Applied Materials & Interfaces 7, 23117, 2015
- [4] J. Jiang, J.H. Song, H. Choi; S.J. Baik, S. Jeong, Solar Energy Materials and Solar Cells 141, 270, 2015
- [5] Q.X. Wang, Y. Y. Wu, X.P. Dong, X.H. Ma, Y. Wei, J. Inorganic Materials 30, 957, 2015
- [6] I. Lignos, S. Staekis, A. Kilaj; As dela Mello, Small 11, 4009, 2015
- [7] X.K. Wu, Y.R. Zhao, C.Q. Yang, G.F. He, J. Mat. Sci. 50, 4250, 2015
- [8] H. Cao, G. Wang, S. Zhang, Nanotechnology 17, 3280, 2006
- [9] Y.H. Zhang, L. Guo, P.G. Yin, R. Zhang, Q Zhang, S.H. Yang, Chem. Eur. J. 13, 2903, 2007
- [10] S. Xiong, B. Xi, D. Xu, C. Wang, X. Feng, H. Zhou, Y. Qian, J. Phys. Chem. C 111, 16761, 2007
- [11] M. Cheraghizade, R. Yousefi, F. Jamali-sheini, A. Saaedi, N. M. Huang, Materials Science in Semiconductor Processing 21, 98, 2014
- [12] B. Deng, S.L. Zhong, D. H. Wang, S.S. Wang, T.K. Zhang, W. G Qu, A W Xu, Nanoscale 3, 1014, 2011
- [13] G. A. Ozin, J. Chem. Soc. A116, 1969
- [14] P.D. Harvey, I. S. Butler, J. Raman Spectroscopy 17, 329, 1986.

**Lucrare ce va fi trimisa spre publicare pana la sfarsitul anului**

Optical evidences for chemical interaction of the polyaniline/fullerene composites with N-methyl -2-pyrrolidinone, M. Baibarac, I. Baltog, M. Daescu, S. Lefrant, P. Chirita, trimisa la *Current Organic Chemistry* pe 4.12.2015.

**Indicatori de rezultat**

Numarul de articole publicate sau acceptate spre publicare in fluxul stiintific principal international		8
Factorul de impact relativ cumulat al publicatiilor publicate sau acceptate spre publicare		15.049
Numarul de citari normalizat la domeniu al publicatiilor	Nr.	16

27.11.2015

Director Proiect  
Conf. dr. Paul CHIRITA